

УДК 523.4

Оптические характеристики галилеевых спутников Юпитера в спектральной области 0.347—0.792 мкм.

I. Зависимость отражательной способности от орбитального фазового угла вблизи оппозиции

А. Н. Довгопол, В. И. Шавловский

Проведены электрофотометрические наблюдения галилеевых спутников Юпитера в спектральной области 0.347—0.792 мкм с использованием 11 интерференционных фильтров ($\Delta\lambda/\lambda \approx 2\%$). Получена зависимость отражательной способности спутников от орбитального фазового угла вблизи оппозиции ($\alpha \leq 1.2^\circ$). Наибольшая амплитуда орбитальных вариаций отражательной способности (до 40 %) наблюдается у Ио в ультрафиолетовой области ($\lambda = 0.347$ мкм), наименьшая ($\sim 5\text{--}7\%$) — у Каллисто во всем исследуемом спектральном диапазоне.

OPTICAL CHARACTERISTICS OF THE GALILEAN SATELLITES OF JUPITER (0.347—0.792 μm): THE DEPENDENCE OF THE REFLECTIVITY ON ORBITAL ANGLE NEAR OPPOSITION, by Dovgopol A. N., Shavlovskij V. I. — Photoelectric observations of the Galilean satellites were carried out in the spectral region 0.347—0.792 μm using 11 interference filters ($\Delta\lambda/\lambda \approx 2\%$). The observations were made for solar phase angles $\alpha \leq 1.2$. The dependence of the satellite reflectivity on orbital phase angle was obtained. The most significant variations of the reflectivity ($\sim 40\%$) were observed for Io in the ultraviolet region ($\lambda = 0.347 \mu m$). Negligible variations ($\sim 5\text{--}7\%$) of the reflectivity were observed for Callisto in the whole spectral region.

Введение. Одним из методов изучения физических характеристик поверхностей естественных спутников планет Солнечной системы являются фотометрические наблюдения. В результате фотометрических исследований галилеевых спутников Юпитера было установлено, что интенсивность солнечного излучения, отраженного от поверхностей спутников, зависит от их орбитальных и солнечных фазовых углов [2], причем эта зависимость различна в разных участках спектра [5].

Изучение особенностей солнечных и орбитальных вариаций яркости спутников позволяет сделать определенные выводы о физических свойствах их поверхностного слоя [1].

Солнечная фазовая функция каждого спутника (участка поверхности), которую можно получить из наблюдений, зависит от трех факторов [1]. Во-первых, от индикатрисы рассеяния и альбедо отдельных частиц, образующих поверхность. Эти два параметра определяются размерами частиц, их формой и оптическими свойствами материала. Во-вторых, от функции затенения отдельных элементов поверхности. Для этой функции главную роль играет мелкомасштабная структура поверхности, ее пористость, характеризуемая параметром упаковки. В-третьих, фазовая кривая зависит от функции затенения, определяемой рельефом поверхности (например, наличием кратеров) [1].

Большой интерес представляют орбитальные вариации яркости спутников. Поскольку периоды вращения и обращения галилеевых спутников совпадают, имеет место однозначное соответствие между орбитальным углом θ и долготой центра видимого диска спутника. Следовательно, орбитальные кривые отражают характер распределения материалов с различными свойствами по поверхности спутников. Такого рода информация необходима для исследования процессов взаимодействия

ствия галилеевых спутников с окружающей средой, для построения моделей поверхностей этих объектов.

К сожалению, орбитальные кривые спутников имеются только для больших солнечных фазовых углов ($\alpha=6-8^\circ$) [5], фазовые функции для широкой спектральной области неизвестны. Это связано с ограниченностью наблюдательных данных и сложностью проблемы разделения солнечных и орбитальных вариаций яркости.

Таблица 1. Характеристики фильтров

Номер фильтра	λ , мкм	$\Delta\lambda$, мкм	Номер фильтра	λ , мкм	$\Delta\lambda$, мкм	Номер фильтра	λ , мкм	$\Delta\lambda$, мкм
1	0.792	0.003	5	0.648	0.008	9	0.457	0.018
2	0.755	0.015	6	0.619	0.010	10	0.407	0.028
3	0.726	0.010	7	0.595	0.010	11	0.347	0.015
4	0.692	0.010	8	0.540	0.014			

Особенно мало данных для наиболее важного периода наблюдений — момента оппозиции, когда тени, обусловленные рельефом, не играют существенной роли, и по деталям «оппозиционной волны» можно получить информацию о микроструктуре поверхности. В связи с этим авторами данной работы проведены наблюдения спутников вблизи оппозиции. Эти наблюдения выполнялись в рамках долгосрочной программы по изучению физических характеристик поверхностей галилеевых спутников. Полученные результаты позволили определить зависимость отражательной способности спутников от орбитального угла в различных участках спектра. В дальнейшем эти данные будут использованы для определения фазовых функций отдельных участков поверхности галилеевых спутников.

Наблюдения. Наблюдения проводились в мае—июне 1983 г. на 60-см рефлекторе ГАО АН УССР (гора Майданак, УзССР) с помощью элекрофотометра, работающего в режиме счета фотонов. В качестве приемника излучения использовался фотоумножитель ФЭУ-79. Отдельные участки спектрального интервала 0.347—0.792 мкм вырезались при помощи 11 интерференционных фильтров, эффективные длины волн λ и полуширины $\Delta\lambda$ которых приведены в табл. 1.

В качестве звезды сравнения была выбрана звезда 9 ω Oph, имеющая спектральный класс, близкий к солнечному, и располагавшаяся на угловом расстоянии $\sim 1^\circ$ от Юпитера. Абсолютные значения распределения энергии в спектре звезды 9 ω Oph определяли путем привязки к звезде λ Vir, данные для которой взяты из [6]. Привязка этих звезд осуществлялась параллельно с наблюдениями спутников на той же аппаратуре. Внутренняя сходимость относительной привязки звезд оказалась лучше 1 %.

Привязка к звезде сравнения проводилась до и после каждой серии наблюдений спутников. В течение ночи яркость звезды сравнения измерялась 10—15 раз. Наблюдения звезды проводились по схеме: звезда — фон — звезда. При измерении яркости спутника особое внимание уделялось корректному учету фона от яркой планеты. Для этого предварительно исследовалось распределение фона вокруг Юпитера в различных участках спектра. Во время измерения фона центр диафрагмы фотометра находился на том же угловом расстоянии от центра диска Юпитера, что и спутник. При отсчете на звезду или спутник накапливалось $\sim 10^4$ — 10^5 импульсов, что обеспечивало статистическую точность лучше 1 %.

Начало и конец экспозиции по всемирному времени UT, орбитальный фазовый угол θ и солнечный фазовый угол α на момент наблюдений представлены в табл. 2.

Таблица 2. Условия наблюдений

Дата	α , град	Спутник	Время (UT)	θ , град	Спутник	Время (UT)	θ , град	
21.05.83	1.20	Ио	$21^h48^m - 21^h50^m$	35	Ганимед	$19^h58^m - 20^h01^m$	250	
			21 55 — 21 57	36		20 05 — 20 07	251	
			22 01 — 22 03	37		20 10 — 20 12	251	
			22 07 — 22 09	37		21 20 — 21 22	253	
			22 35 — 22 37	42		21 26 — 21 28	253	
			22 41 — 22 43	42		21 31 — 21 33	254	
						22 52 — 22 54	256	
			Каллисто	19 41 — 19 43	321			
				19 47 — 19 50	321			
				19 53 — 19 55	321			
				21 03 — 21 05	322			
				21 09 — 21 11	322			
				21 15 — 21 17	322			
				22 56 — 22 58	324			
22.05.83	1.00	Ио	18 15 — 18 17	208	Европа	20 37 — 20 39	97	
			18 22 — 18 24	209		20 42 — 20 44	97	
			18 28 — 18 30	210		20 48 — 20 50	98	
			19 36 — 19 38	220		21 21 — 21 23	100	
			19 42 — 19 44	220		21 28 — 21 30	101	
			21 59 — 22 01	240				
			22 04 — 22 06	240				
			Ганимед	20 55 — 20 57	303	Каллисто	19 15 — 19 17	342
				21 02 — 21 04	303		19 21 — 19 23	342
				21 07 — 21 09	303		19 26 — 19 28	342
				21 35 — 21 38	304		21 47 — 21 49	345
				21 41 — 21 43	304		21 54 — 21 55	345
23.05.83	0.80	Ио	21 19 — 21 21	78	Европа	19 51 — 19 53	195	
			21 26 — 21 29	79		19 56 — 19 58	196	
			21 33 — 21 36	80		20 02 — 20 04	196	
			21 39 — 21 42	81		22 03 — 22 06	205	
			22 37 — 22 40	87		22 08 — 22 11	205	
			22 43 — 22 45	88		22 14 — 22 17	205	
			Ганимед	18 26 — 18 28	348	Каллисто	18 48 — 18 50	5
				18 32 — 18 34	348		18 53 — 18 55	5
				18 37 — 18 41	348		18 59 — 19 01	6
				19 38 — 19 40	350		24 47 — 21 50	8
				19 44 — 19 46	350		21 53 — 21 56	8
24.05.83	0.60	Ио	19 45 — 19 47	268	Европа	19 56 — 19 58	297	
			19 50 — 19 52	269		20 01 — 20 03	297	
			20 54 — 20 56	278		21 06 — 21 08	302	
			21 01 — 21 03	279		21 11 — 21 13	302	
			21 52 — 21 55	286		22 02 — 22 04	306	
			21 56 — 21 58	287		22 08 — 22 10	306	
			Ганимед	20 06 — 20 08	42	Каллисто	20 16 — 20 18	28
				20 10 — 20 12	43		20 21 — 20 23	28
				21 18 — 21 20	45		21 29 — 21 31	29
				21 23 — 21 25	45		21 35 — 21 37	29
				22 20 — 22 22	47		22 32 — 22 34	30
25.05.83	0.40	Ио	22 25 — 22 27	47		22 36 — 22 38	30	
			Ганимед	20 20 — 20 22	117	Европа	20 35 — 20 37	42
				20 24 — 20 26	117		20 39 — 20 41	42
				19 22 — 19 24	91	Каллисто	19 32 — 19 34	49
				19 27 — 19 29	91		19 36 — 19 38	49
27.05.83	0.15	Ио	18 08 — 18 10	145	Европа	20 11 — 20 13	243	
			18 13 — 18 15	146		20 16 — 20 18	243	
			18 21 — 18 23	147		20 22 — 20 24	243	
			19 16 — 19 18	155		21 38 — 21 40	249	
			19 22 — 19 24	156		21 42 — 21 44	249	
			19 29 — 19 31	157				
			Ганимед	18 27 — 18 30	190	Каллисто	20 53 — 20 55	94
				18 34 — 18 36	190		21 00 — 21 02	94
				18 39 — 18 41	190		21 06 — 21 08	94
				19 39 — 19 41	192		21 11 — 21 13	94
				19 44 — 19 46	192		21 50 — 21 52	94
				19 48 — 19 50	193		21 54 — 21 56	94
				21 17 — 21 19	196			
				21 23 — 21 25	196			

Продолжение табл. 2

Дата	α , град	Спутник	Время (UT)	θ , град	Спутник	Время (UT)	θ , град
28.05.83	0.30	Ио	17 ^h 49 ^m —17 ^h 51 ^m	346	Европа	18 ^h 30 ^m —18 ^h 32 ^m	337
			17 57 —17 59	346		18 35 —18 37	337
			22 15 —22 18	24		18 40 —18 42	338
			22 21 —22 23	24		19 11 —19 13	340
			20 27 —20 29	244		19 15 —19 17	340
			20 32 —20 35	245		19 19 —19 21	340
			21 02 —21 05	246		20 15 —20 17	344
			21 08 —21 10	246		20 20 —20 22	345
			21 13 —21 15	246	Каллисто	20 40 —20 42	115
			21 46 —21 49	247		20 45 —20 47	115
			21 52 —21 55	247		21 19 —21 22	116
						21 25 —21 27	116
						21 30 —21 32	116
						21 59 —22 02	116
01.06.83	1.10	Ио	18 02 —18 05	82	Европа	22 05 —22 07	116
			18 07 —18 10	83		18 19 —18 21	22
			18 13 —18 15	84		18 24 —18 26	23
			19 45 —19 49	97		18 29 —18 31	23
			19 52 —10 54	98		20 02 —20 04	30
			19 56 —19 58	99		20 07 —20 09	30
			20 56 —20 58	107		20 12 —20 14	30
			21 01 —21 03	108		20 38 —20 41	32
			21 06 —21 08	109		20 44 —20 46	33
			18 51 —18 53	83	Каллисто	20 50 —20 52	33
			18 57 —18 59	84		19 08 —19 11	200
			19 02 —19 04	84		19 14 —19 16	200
			21 20 —21 22	88		19 19 —19 21	200
			21 26 —21 28	89		21 39 —21 41	202
			21 30 —21 33	89		21 44 —21 46	202
						21 49 —21 51	202

Для каждой ночи определялись спектральные коэффициенты прозрачности земной атмосферы, а также их вариации в течение времени наблюдений. При этом использовался метод «высокая — низкая» звезда. Как оказалось, вариации коэффициента прозрачности в течение ночи не превышали нескольких процентов, что в наших условиях дает ошибку учета прозрачности не более нескольких десятых долей процента.

Вычисление отражательной способности спутников. Для вычисления спектральной отражательной способности спутников использовали выражение:

$$A_{\lambda} = \frac{I_{\lambda}^{\text{сп}}}{I_{\lambda}^*} \cdot \frac{E_{\lambda}^*}{E_{\lambda}^{\odot}} \cdot \left(\frac{rl}{R} \right)^2 \cdot p_{\lambda}^{\Delta M},$$

где A_{λ} — отражательная способность для длины волны λ ; $I_{\lambda}^{\text{сп}}$ и I_{λ}^* — измеренные интенсивности спутника и звезды сравнения; E_{λ}^* и E_{λ}^{\odot} — внеатмосферные значения освещенности для звезды сравнения и Солнца; R — радиус спутника; r и l — гелиоцентрические и геоцентрические расстояния спутников; p_{λ} — коэффициент прозрачности земной атмосферы; ΔM — разность воздушных масс звезды и спутника. Для радиусов спутников были приняты следующие значения, полученные с помощью космических аппаратов [11]: Ио — 1820 км, Европа — 1565 км, Ганимед — 2640 км, Каллисто — 2420 км (точность ± 15 км). Данные о распределении энергии в спектре Солнца взяты из [4].

Солнечный фазовый угол до и после оппозиции изменялся примерно на один градус. В связи с этим для редукции полученных данных к нулевой солнечной фазе можно воспользоваться линейным приближением фазового закона. Поскольку фазовые функции галилеевых

спутников слабо зависят от длины волны [7, 9], фазовая функция каждого спутника для $\lambda=0.54$ мкм использовалась (с учетом малого интервала изменений солнечного угла) и в других длинах волн [7]. В случае Каллисто фазовые функции ведущего и ведомого полушарий несколько отличаются [9], поэтому для каждого полушария использовалась свой фазовый закон [9].

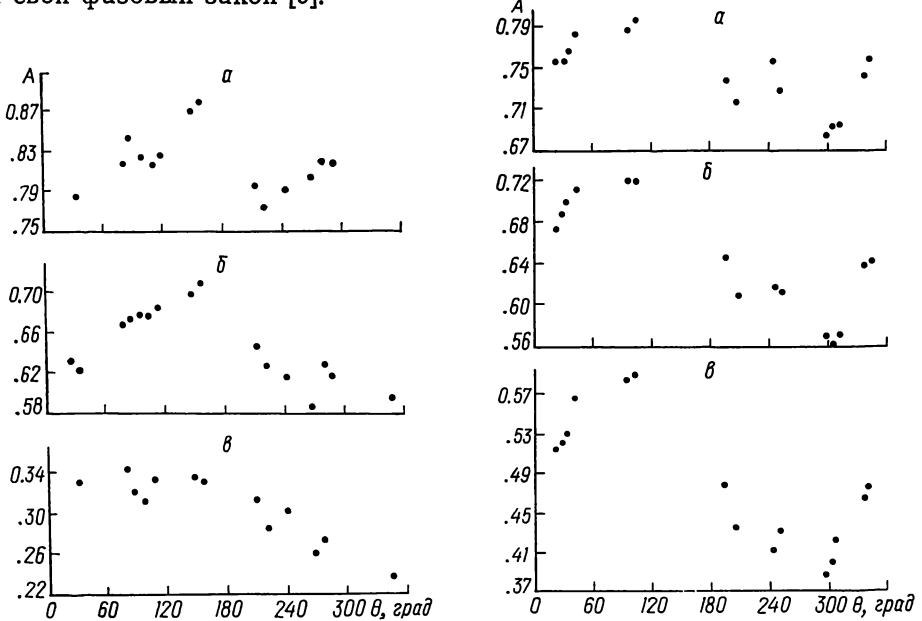


Рис. 1. Зависимость отражательной способности Ио от орбитального фазового угла θ при $\alpha=0$: а — $\lambda=0.755$ мкм, б — $\lambda=0.540$ мкм, в — $\lambda=0.347$ мкм

Рис. 2. Зависимость отражательной способности Европы от орбитального фазового угла θ при $\alpha=0$: а — $\lambda=0.755$ мкм, б — $\lambda=0.540$ мкм, в — $\lambda=0.347$ мкм

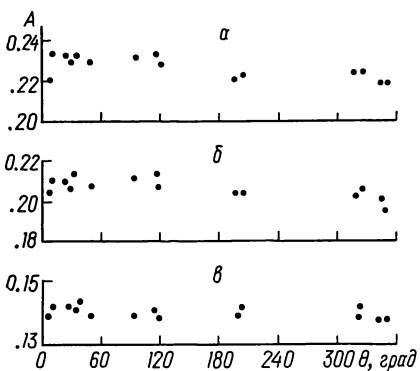
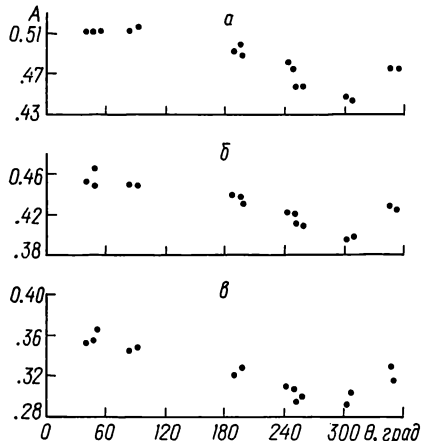


Рис. 3. Зависимость отражательной способности Ганимеда от орбитального фазового угла θ при $\alpha=0$: а — $\lambda=0.755$ мкм, б — $\lambda=0.540$ мкм, в — $\lambda=0.347$ мкм

Рис. 4. Зависимость отражательной способности Каллисто от орбитального фазового угла θ при $\alpha=0$: а — $\lambda=0.755$ мкм, б — $\lambda=0.540$ мкм, в — $\lambda=0.347$ мкм

Орбитальные вариации отражательной способности. Полученная нами зависимость отражательной способности галилеевых спутников от орбитального фазового угла в трех участках спектра показана на рис. 1—4. Значения отражательной способности спутников, средние для каждой серии измерений, приведены в табл. 3. Ошибка воспроизведимости, определяемая как среднее квадратичное отклонение внутри

Таблица 3. Отражательная способность спутников

Дата	θ , град	Длина волны λ , мкм										
		0.347	0.407	0.457	0.540	0.595	0.620	0.648	0.692	0.725	0.755	0.792
Ио												
21.05.83	37	0.306	0.274	0.412	0.572	0.604	0.628	0.674	0.696	0.710	0.722	0.693
22.05.83	209	0.295	0.304	0.442	0.605	0.635	0.660	0.684	0.719	0.739	0.741	0.815
22.05.83	220	0.267	0.279	0.432	0.586	0.601	0.642	0.666	0.693	0.726	0.721	0.706
22.05.83	240	0.296	0.274	0.418	0.577	0.622	0.646	0.671	0.707	0.747	0.736	0.739
23.05.83	79	0.326	0.313	0.463	0.634	0.670	0.697	0.713	0.757	0.776	0.778	0.752
24.05.83	268	0.249	0.238	0.393	0.565	0.607	0.642	0.687	0.730	0.758	0.772	0.749
24.05.83	278	0.266	0.249	0.418	0.610	0.645	0.685	0.716	0.754	0.776	0.783	0.761
24.05.83	286	0.283	0.240	0.396	0.596	0.636	0.663	0.706	0.754	0.769	0.784	0.754
25.05.83	116	0.308	0.328	0.491	0.666	0.690	0.715	0.742	0.765	0.793	0.804	0.758
27.05.83	146	0.331	0.362	0.516	0.690	0.745	0.765	0.786	0.815	0.836	0.860	0.840
27.05.83	156	0.327	0.450	0.524	0.728	0.729	0.773	0.807	0.841	0.857	0.871	0.826
28.05.83	346	0.227	0.243	0.377	0.584	0.585	0.637	0.651	0.651	0.699	0.689	0.700
28.05.83	24	0.363	0.298	0.458	0.619	0.658	0.693	0.748	0.766	0.799	0.828	0.790
01.06.83	83	0.297	0.318	0.464	0.626	0.663	0.681	0.711	0.746	0.763	0.782	0.743
01.06.83	98	0.289	0.309	0.461	0.626	0.652	0.683	0.699	0.735	0.744	0.763	0.729
01.06.83	108	0.313	0.307	0.461	0.626	0.656	0.680	0.712	0.743	0.747	0.759	0.737
Европа												
22.05.83	98	0.560	0.545	0.579	0.692	0.711	0.709	0.712	0.724	0.745	0.759	0.757
22.05.83	101	0.567	0.551	0.580	0.691	0.720	0.717	0.722	0.732	0.757	0.765	0.759
23.05.83	196	0.463	0.493	0.535	0.624	0.643	0.654	0.665	0.680	0.699	0.714	0.685
24.05.83	297	0.378	0.410	0.482	0.553	0.590	0.606	0.621	0.634	0.664	0.669	0.670
24.05.83	302	0.388	0.402	0.469	0.547	0.580	0.598	0.616	0.630	0.664	0.675	0.661
24.05.83	306	0.414	0.406	0.468	0.551	0.590	0.590	0.607	0.621	0.662	0.676	0.658
25.05.83	42	0.557	0.547	0.589	0.699	0.718	0.711	0.723	0.729	0.758	0.773	0.737
27.05.83	243	0.408	0.548	0.539	0.612	0.645	0.664	0.670	0.717	0.742	0.757	0.724
27.05.83	249	0.437	0.457	0.530	0.607	0.643	0.643	0.663	0.697	0.715	0.721	0.699
28.05.83	337	0.459	0.492	0.544	0.630	0.663	0.662	0.684	0.705	0.728	0.739	0.721
28.05.83	340	0.469	0.497	0.546	0.634	0.657	0.680	0.690	0.716	0.743	0.756	0.734
01.06.83	23	0.492	0.508	0.553	0.643	0.667	0.665	0.674	0.694	0.709	0.724	0.699
01.06.83	30	0.496	0.512	0.554	0.658	0.670	0.667	0.680	0.700	0.712	0.725	0.692
01.06.83	33	0.507	0.506	0.556	0.668	0.684	0.689	0.700	0.715	0.740	0.734	0.726
Ганимед												
21.05.83	251	0.280	0.315	0.346	0.393	0.407	0.409	0.414	0.424	0.445	0.438	0.430
21.05.83	253	0.287	0.313	0.337	0.391	0.401	0.401	0.414	0.420	0.432	0.436	0.421
22.05.83	303	0.280	0.315	0.334	0.380	0.397	0.405	0.408	0.419	0.429	0.431	0.429
22.05.83	304	0.293	0.313	0.333	0.382	0.403	0.404	0.409	0.419	0.431	0.430	0.423
23.05.83	348	0.323	0.341	0.367	0.413	0.429	0.439	0.442	0.452	0.462	0.461	0.459
23.05.83	350	0.305	0.337	0.362	0.410	0.431	0.438	0.445	0.448	0.469	0.462	0.444
24.05.83	43	0.347	0.368	0.392	0.442	0.467	0.474	0.476	0.487	0.505	0.501	0.491
24.05.83	45	0.348	0.362	0.383	0.437	0.459	0.469	0.475	0.477	0.494	0.497	0.486
24.05.83	47	0.378	0.373	0.387	0.456	0.466	0.469	0.469	0.486	0.508	0.497	0.489
25.05.83	91	0.340	0.366	0.390	0.441	0.469	0.475	0.474	0.483	0.495	0.511	0.497
27.05.83	190	0.317	0.352	0.372	0.433	0.442	0.450	0.458	0.471	0.483	0.489	0.470
27.05.83	193	0.315	0.355	0.375	0.430	0.439	0.456	0.461	0.469	0.483	0.498	0.472
27.05.83	196	0.326	0.357	0.385	0.452	0.437	0.446	0.460	0.468	0.483	0.484	0.464
28.05.83	245	0.306	0.341	0.370	0.417	0.434	0.443	0.447	0.455	0.468	0.476	0.463
28.05.83	246	0.304	0.336	0.364	0.417	0.432	0.444	0.449	0.459	0.464	0.471	0.463
01.06.83	84	0.331	0.356	0.380	0.431	0.450	0.454	0.465	0.469	0.477	0.492	0.467
Каллисто												
21.05.83	321	0.134	0.146	0.164	0.188	0.198	0.198	0.202	0.209	0.218	0.217	0.210
22.05.83	342	0.132	0.144	0.162	0.189	0.196	0.199	0.201	0.205	0.211	0.214	0.208
22.05.83	345	0.133	0.142	0.159	0.183	0.197	0.195	0.203	0.208	0.216	0.215	0.214
23.05.83	5.5	0.133	0.144	0.160	0.180	0.195	0.197	0.200	0.203	0.212	0.210	0.210
23.05.83	8	0.138	0.148	0.162	0.194	0.203	0.206	0.205	0.212	0.223	0.225	0.212
24.05.83	28	0.140	0.152	0.170	0.199	0.212	0.210	0.217	0.220	0.226	0.228	0.218
24.05.83	29	0.139	0.149	0.166	0.196	0.208	0.206	0.211	0.218	0.207	0.224	0.215
25.05.83	49	0.138	0.154	0.169	0.200	0.211	0.211	0.212	0.218	0.223	0.229	0.224
27.05.83	94	0.142	0.160	0.180	0.209	0.219	0.219	0.228	0.231	0.240	0.239	0.233
28.05.83	115	0.143	0.156	0.174	0.208	0.217	0.221	0.222	0.227	0.235	0.239	0.228
28.05.83	116	0.139	0.155	0.174	0.201	0.216	0.219	0.222	0.221	0.226	0.231	0.219
01.06.83	200	0.134	0.148	0.163	0.189	0.200	0.200	0.204	0.205	0.211	0.214	0.209
01.06.83	202	0.140	0.143	0.160	0.188	0.200	0.202	0.203	0.203	0.216	0.216	0.211

серии, составляет в среднем 2—3 %. Суммарная ошибка значений отражательной способности, включающая погрешность в абсолютных значениях энергии звезды сравнения (4 %), Солнца (3—4 %) и прозрачности земной атмосферы ($\sim 1 \%$), составляет при этом 7—8 %.

По результатам наблюдений мы получили кривые для $\alpha \approx 0^\circ$. Так как аналогичные данные других авторов для момента оппозиции почти полностью отсутствуют, для сравнения в табл. 4 приводим только средние значения геометрического альбедо ведущих полушарий спутников [3].

Таблица 4. Геометрическое альбедо галилеевых спутников [3]

$\lambda, \text{ мкм}$	Ио	Европа	Ганимед	Каллисто	$\lambda, \text{ мкм}$	Ио	Европа	Ганимед	Каллисто
0.358	0.13	0.47	0.28	0.12	0.665	0.86	0.76	0.50	0.22
0.402	0.33	0.57	0.37	0.15	0.699	0.86	0.76	0.50	0.22
0.467	0.61	0.68	0.45	0.19	0.730	0.87	0.76	0.50	0.22
0.532	0.75	0.77	0.49	0.21	0.765	0.87	0.78	0.51	0.22
0.598	0.81	0.76	0.50	0.22	0.809	0.86	0.77	0.51	0.23
0.633	0.83	0.77	0.50	0.22					

Из рис. 1—4 и табл. 3 видно, что значения отражательной способности при некоторых орбитальных углах значительно отличаются от средних величин.

В случае Ио орбитальные кривые (форма и амплитуда) сильно зависят от длины волны; амплитуда орбитальных вариаций отражательной способности увеличивается от 13 % в красной области ($\lambda = 0.755 \text{ мкм}$) до 40 % в ультрафиолетовой области ($\lambda = 0.347 \text{ мкм}$).

У Европы амплитуда в красной и ультрафиолетовой областях примерно такая же, как у Ио, а для $\lambda = 0.540 \text{ мкм}$ вариации у Европы составляют примерно 25 %, тогда как у Ио — 15 %.

Наиболее отчетливая деталь на поверхности Ио находится вблизи долготы 280° . Поскольку орбитальные кривые Ио почти одинаковы по форме при различных солнечных фазовых углах [9], наличие этой детали не может быть объяснено эффектом оппозиции. Следовательно, это темное красное пятно, которое по размерам меньше, чем ведомое полушарие. Этот факт хорошо согласуется с данными наземных наблюдений других авторов [8] и космическими исследованиями [10].

Согласно данным, полученным с помощью космического аппарата «Вояджер-1» [10], больше половины площади рассматриваемой области занимают равнины. Верхний слой равнин состоит, по-видимому, из серы и ее соединений, летучих щелочных солей, силикатного вулканического пепла. Эти участки имеют преимущественно оранжево-красный и оранжево-коричневый цвета [10]. Значительную часть площади занимают кратеры вулканического происхождения, состоящие из серы и ее различных аллотропических модификаций. Цвет кратеров изменяется от белого и желтого до коричневого и черного. Некоторые участки покрыты потоками серы и силикатно-серными образованиями различной вязкости [10].

Обращает на себя внимание деталь на поверхности Европы (долгота 240°), меньшего размера и менее выраженная, чем в случае Ио.

У Ганимеда амплитуда орбитальных вариаций отражательной способности в красной области достигает такой же величины, а в ультрафиолетовой области — в два раза меньше, чем у Ио и Европы.

Орбитальные вариации отражательной способности Каллисто в нашем случае не превосходят 5—7 %, хотя при $\alpha = 8^\circ$ они могут достигать 30 % [2]. Этот факт объясняется тем, что более темная сторона Каллисто (ведущее полушарие) имеет значительно больший оппози-

ционный эффект, чем светлая. Поэтому яркости обоих полушарий в оппозицию почти выравниваются.

Общей закономерностью для всех галилеевых спутников является увеличение амплитуды орбитальных вариаций отражательной способности с уменьшением длины волны. С увеличением расстояния от планеты поверхности спутников становятся более темными и более однородными по цвету.

Авторы выражают благодарность В. М. Клименко за помощь, оказанную при подготовке работы.

1. *Веверка Дж. Фотометрия поверхности спутников.* — В кн.: Спутники планет. М. : Мир, 1980, с. 203—243.
2. *Гаррис Д. Л. Интегральная фотометрия и колориметрия планет и спутников.* — В кн.: Планеты и спутники. М. : Изд-во иностр. лит., 1963, с. 241—305.
3. *Джонсон Т., Пильчер К. Спектрофотометрия и строение поверхности спутников.* — В кн.: Спутники планет. М. : Мир, 1980, с. 267—305.
4. *Макарова Е. А., Харитонов А. В. Распределение энергии в спектре Солнца и солнечная постоянная.* — М. : Наука, 1972.—288 с.
5. *Моррисон Д., Моррисон Н. Фотометрия галилеевых спутников.* — В кн.: Спутники планет. М. : Мир, 1980, с. 402—417.
6. *Харитонов А. В., Терещенко В. М., Князева Л. Н. Сводный спектрофотометрический каталог звезд.* — Алма-Ата : Наука, 1978.—197 с.
7. *Lockwood G. W., Thompson D. T., Lumme K. A possible detection of solar variability from photometry of Io, Europa, Callisto, and Rhea, 1976—1979.* — Astron. J., 1980, 85, p. 961—968.
8. *McFadden L. A., Bell J. F., McCord T. B. Visible spectral reflectance measurements (0.33—1.1 μm) of the Galilean satellites at many orbital phase angles.* — Icarus, 1980, 44, p. 410—430.
9. *Millis R. L., Thompson D. T. UBV photometry of the Galilean satellites.* — Ibid., 1975, 26, p. 408—419.
10. *Schafer G. G. The surface of Io: geologic units, morphology, and tectonics.* — Ibid., 1980, 43, p. 302—333.
11. *Smith B. A., Soderblom L. A., Johnson T. V. The Jupiter system through the eyes of Voyager 1.* — Science, 1979, 204, p. 951—971.

Глав. астрон. обсерватория АН УССР,
Киев

Поступила в редакцию 24.09.84,
после доработки 31.10.84

РЕФЕРАТ ПРЕПРИНТА

УДК 520.27;520.874

АППАРАТУРНО-ПРОГРАММНЫЙ КОМПЛЕКС АВТОМАТИЗАЦИИ РАДИОТЕЛЕСКОПА УТР-2 / Рашковский С. Л., Соколов К. П.

(Препринт / АН УССР, Ин-т радиоэлектроники, 1983(1984); № 225)

Рассматривается система автоматизации радиотелескопа УТР-2, построенная на базе УВК М-6000 АСВТ-М. Описывается аппаратурный комплекс и программное обеспечение системы, позволяющие осуществлять управление диаграммой направленности телескопа, сбор и обработку поступающей с выходов радиотелескопа информации. Приведены примеры обращения к различным блокам системы в программах на BASIC.